

Universidade Federal de Minas Gerais - UFMG
Programa de Pós-Graduação em Engenharia Elétrica

Parallel Distributed Control(PDC) de um Pendulo Invertido Via Representação Takagi-Sugeno

Número de matrícula: 2016086496
Estudante: Jonatan Mota Campos
Orientador: Guilherme Vianna Raffo
Co-orientador:

21 de março de 2021

Sumário

1	Modelagem Dinâmica	1
1.1	Formulação Newton Euler e Representação Via Sistema Descritor	1
1.2	Representação Takagi-Sugeno Via Não Linearidade de Setor	2
2	Controle	2
2.1	Lei de Controle PDC	2
2.2	Lei de Controle PDC com \mathcal{H}_∞	2

1 Modelagem Dinâmica

1.1 Formulação Newton Euler e Representação Via Sistema Descritor

Pela modelagem de Newton Euler, que não será demonstrada aqui por já ter sido demonstrada no arquivo fornecido para o trabalho obtêm-se o modelo dinâmico abaixo:

$$\begin{bmatrix} M + m & -ml\cos(\theta) \\ -ml\cos(\theta) & ml^2 \end{bmatrix} \begin{bmatrix} \ddot{s} \\ \ddot{\theta} \end{bmatrix} + \begin{bmatrix} 0 & ml\sin(\theta) \\ 0 & 0 \end{bmatrix} \begin{bmatrix} \dot{s} \\ \dot{\theta} \end{bmatrix} + \begin{bmatrix} (M + m)g\sin(\alpha) \\ -mgl\sin(\alpha + \theta) \end{bmatrix} = \begin{bmatrix} u - k_v\dot{s} \\ 0 \end{bmatrix} \quad (1)$$

Onde, M é a massa do carrinho, m é a massa do pendulo, g é a aceleração da gravidade, l é a distancia entre o centro de gravidade do pendulo e seu eixo de rotação, s é a distância percorrida pelo carrinho, θ é a inclinação do pendulo, e k_v é uma constante de atrito viscoso.

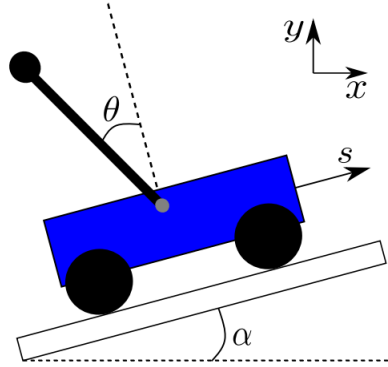


Figura 1: Pêndulo Invertido

Definindo ainda $v = \dot{s}$ e $\omega = \dot{\theta}$ escreve-se a dinâmica em malha aberta como,

$$\begin{bmatrix} 1 & 0 & 0 & 0 \\ 0 & 1 & 0 & 0 \\ 0 & 0 & M + m & -ml\cos(\theta) \\ 0 & 0 & -ml\cos(\theta) & ml^2 \end{bmatrix} \begin{bmatrix} \dot{s} \\ \dot{\theta} \\ v \\ \omega \end{bmatrix} = \begin{bmatrix} 0 & 0 & 1 & 0 \\ 0 & 0 & 0 & 1 \\ 0 & 0 & -k_v & -ml\sin(\theta)\omega \\ 0 & mgl\cos(\alpha)\text{sinc}(\theta) & 0 & 0 \end{bmatrix} \begin{bmatrix} s \\ \theta \\ v \\ \omega \end{bmatrix} + \begin{bmatrix} 0 \\ 0 \\ 1 \\ 0 \end{bmatrix} u + \begin{bmatrix} 0 \\ 0 \\ -(M + m)g\text{sinc}(\alpha) \\ mgl\cos(\theta)\text{sinc}(\alpha) \end{bmatrix} \alpha \quad (2)$$

Fazendo $\bar{\alpha} = \text{sinc}(\alpha)\alpha$ escreve-se o sistema descritor quasi-LPV como,

$$E(x)\dot{x} = A(x)x + B_u u + B_\alpha(x)\bar{\alpha} \quad (3)$$

$$\begin{bmatrix} 1 & 0 & 0 & 0 \\ 0 & 1 & 0 & 0 \\ 0 & 0 & M + m & -ml\cos(\theta) \\ 0 & 0 & -ml\cos(\theta) & ml^2 \end{bmatrix} \begin{bmatrix} \dot{s} \\ \dot{\theta} \\ v \\ \omega \end{bmatrix} = \begin{bmatrix} 0 & 0 & 1 & 0 \\ 0 & 0 & 0 & 1 \\ 0 & 0 & -k_v & -ml\sin(\theta)\omega \\ 0 & mgl\cos(\alpha)\text{sinc}(\theta) & 0 & 0 \end{bmatrix} \begin{bmatrix} s \\ \theta \\ v \\ \omega \end{bmatrix} + \begin{bmatrix} 0 \\ 0 \\ 1 \\ 0 \end{bmatrix} u + \begin{bmatrix} 0 \\ 0 \\ -(M + m)g \\ mgl\cos(\theta) \end{bmatrix} \bar{\alpha} \quad (4)$$

1.2 Representação Takagi-Sugeno Via Não Linearidade de Setor

Nessa seção será utilizada a técnica de não linearidade de setor para buscar um modelo Takagi-Sugeno exato dentro de um domínio compacto. São escolhidas as seguintes não linearidades:

$$\begin{cases} z_1 = \cos(\theta) \\ z_2 = \sin(\theta)\omega \\ z_3 = \cos(\alpha)\text{sinc}(\theta) \end{cases} \quad (5)$$

Dessa forma obtemos um modelo dinâmico na forma,

$$\dot{\mathbf{x}} = \left\{ \begin{bmatrix} 1 & 0 & 0 & 0 \\ 0 & 1 & 0 & 0 \\ 0 & 0 & M+m & -ml\cos(\theta) \\ 0 & 0 & -ml\cos(\theta) & ml^2 \end{bmatrix} \right\}^{-1} \left\{ \begin{bmatrix} 0 & 0 & 1 & 0 \\ 0 & 0 & 0 & 1 \\ 0 & 0 & -k_v & -mlz_2 \\ 0 & mglz_3 & 0 & 0 \end{bmatrix} \begin{bmatrix} s \\ \theta \\ v \\ \omega \end{bmatrix} + \begin{bmatrix} 0 \\ 0 \\ 1 \\ 0 \end{bmatrix} u + \begin{bmatrix} 0 \\ 0 \\ -(M+m)g \\ mglz_1 \end{bmatrix} \bar{\alpha} \right\} \quad (6)$$

$$\dot{\mathbf{x}} = \mathbf{f}(\mathbf{x}, \mathbf{u}, \hat{\alpha}) \quad (7)$$

Como $\dot{\mathbf{x}} = \mathbf{f}(\mathbf{0}, \mathbf{0}, \mathbf{0}) = 0$ podemos utilizar a técnica da não linearidade de setor. Tomando a condição de que estamos projetando um controlador para atuar em um terreno com inclinação máxima e mínima conhecidas de forma que $\alpha \in [-10^\circ, 10^\circ]$, além de que da geometria do problema $\theta \in [-90^\circ, 90^\circ]$, e assumindo que a velocidade angular do pendulo varie como $\omega \in [-\frac{\pi}{6}(\frac{rad}{s}), \frac{\pi}{6}(\frac{rad}{s})]$.

$$a_1^{max} = 1 \quad (8)$$

$$a_1^{min} = 0 \quad (9)$$

$$(10)$$

$$a_2^{max} = 0.5236 \quad (11)$$

$$a_2^{min} = -0.5236 \quad (12)$$

$$(13)$$

2 Controle

2.1 Lei de Controle PDC

2.2 Lei de Controle PDC com \mathcal{H}_∞